

II - 10 直線水路の二次流れに関する研究

— 表面流速の降低と最大流速比 —

京都大学工学部 正員 林本嘉雄

直線水路における二次流れに関する Gibson の研究が指摘され、その後、数多くの研究者によって観察工法が確立され、現在はいわゆる確実な測定手段が存在し、二次流れの特性がよく明らかにされている。また¹⁾ 二次流れの発生機構は局所流向測定以外、全輪衡と呼ばれる若干の考察を行なっているが、本報告では流速分布の測定結果より表面流速の降低現象を検討し、また最大流速比について一般元より壁面の影響を加味した二次元の考察結果と比較検討する。

1. 表面流速の降低現象の検討； 直線水路の表面の最大流速が降低する現象は二次流れの特性を直接的に察知する特徴として従来より注目されてきた。流水断面の中心線に最大流速点の水頭から降下距離²⁾と $\frac{V_0}{H}$ との関係³⁾を検討する。

図1は佐藤氏³⁾による従来の実験値の平均曲線⁴⁾とその整理結果を示す。

左側の図、水路中 B の差異によつて $\frac{V_0}{H}$ ～

$\frac{B}{H}$ の関係は明瞭な傾きがあり、断面比が同じで $\frac{B}{H}$ が増加するほど降下率が大きくなる $\frac{V_0}{H}$ 。

つづり、水路中一定とし、流量 Q を一定とし、 $\frac{B}{H}$ の異なる二つについて $\frac{V_0}{H}$ ～ $\frac{B}{H}$ の関係を比較する。図2のようになると分かる。同図より明らかなように、同一断面比に対して Q が増加するほど降下率は大きくなる。これは二次流れの発生機構の構造¹⁾が述べたように Reynolds 数の減少により壁面付近の運動エネルギーが減少する事と、壁面に対する距離 z が長くなると最大流速点の降下距離 z' の関係を示すものである。壁面近傍($\frac{z}{H} < 1$)では明るく

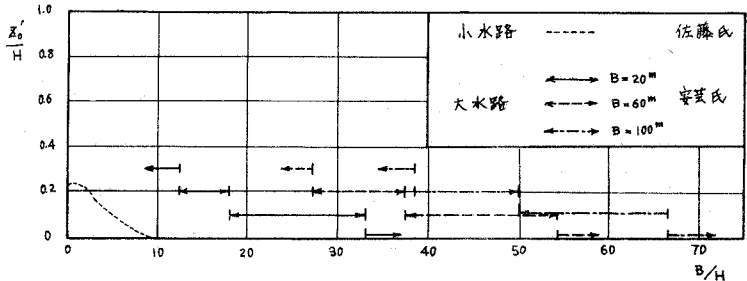


図1. $\frac{V_0}{H}$ と $\frac{B}{H}$ の関係 (B の相違による比較)

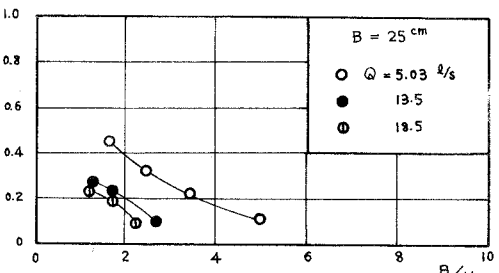


図2. $\frac{V_0}{H}$ と $\frac{B}{H}$ の関係 (Q の相違による比較)

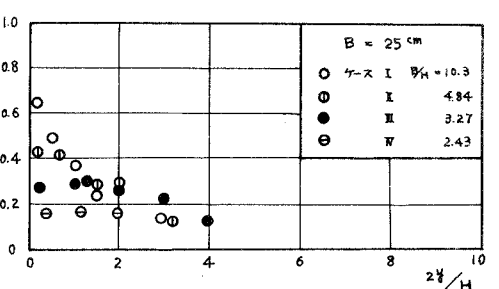


図3. $\frac{V_0}{H}$ と $\frac{z}{H}$ の関係 (B の相違による比較)

中心部の B/H が小さくなるほど表面流速の降下率は大きくなり、中心部に近づくほど B/H の効果は減少する。一方で壁面近傍での流動効果が大きくなることで流れは減衰し、中心部では $\frac{B}{H} \sim \frac{2}{3}$ の間に B/H の減少率が相似勾配が成り立つと考えられる。

以上、急勾配の水路における水頭の変化、従来参考となるよりは一様な $B/H = 10$ の水路中心部の最大流速は水面に拘らず、 $\frac{B}{H} \approx 0.2 \sim 0.3$ とせば十分に正確である、图1～3の結果、图2～Qの結果を無視する以上は图2～3。すなわち、表面流速の降低は二次流の特性に拘らず同一のもの、单なる横河音の相似関係から把握出来る、 B が $0.1 \sim 1.0 H$ の場合までステークと Q は常に Q の強度による位置が最も影響が大きいと考えられる。

2. 最大流速に拘らず横木；最大流速 U_{max} は \sim 断面平均流速 U_m と上部断面平均の摩擦速度 U_f を含む式の拘束式を意味す。

$$\frac{U_{max} - U_m}{U_*} = F_0 \quad (= \text{const.}) \quad \text{at } z=0 \quad U_{max} = F_0 U_* + U_m$$

流速断面内弯曲的影响半径在考虑了这一流动特性以后，将适合江体， Folk velocity defect law⁴⁾ が式(3)のようになります。

$$(ii) \text{ 对数键合 } ; \quad F_{01} = \frac{1}{H} \int_0^H \frac{1}{K} \ln \frac{z}{H} dz = \frac{1}{K} = 2.5$$

$$(ii) \quad \text{Kármán の式に基づく場合; } F_{02} = \int_0^1 \frac{1}{\kappa} \left\{ \sqrt{t} + \ln(1-\sqrt{t}) \right\} dt = \frac{5}{6} \frac{1}{\kappa} = 2.08$$

$$(iii) \text{ Prandtl の式を用いて} \quad F_{03} = \int_0^1 \frac{1}{kC} \left(\ln \frac{1+\sqrt{t}}{1-\sqrt{t}} - 2\sqrt{t} \right) dt = \frac{2}{3} \frac{1}{kC} = 1.67$$

たがいに影響を及ぼす。このように、物理的影響と加味して二次元的に取り扱う場合、 B/H は $B/H \approx 1$ の場合と同様に α が $1/2$ である。長方形断面の滑面水路の場合には $\alpha = 1/2$ の場合と同様に α が $1/2$ である。

$$F_{04} = \left[A_0 + A_1 \frac{H}{B} + A_2 \left(\frac{H}{B} \right)^2 + A_3 \left(\frac{H}{B} \right)^3 \right]$$

$$z = v^*, \quad A_0 = 2.5, \quad A_1 = 27 + 55 \frac{v^*}{\text{Lm}}, \quad A_2 = -5 + 55 \frac{v^*}{\text{Lm}} + 151 \left(\frac{v^*}{\text{Lm}} \right)^2, \quad A_3 = 6.7 - 55 \frac{v^*}{\text{Lm}} \quad \text{等式}.$$

Fo1 和 Fo2 以上的低至高分子量山梨醇四乙酸的室温活性与比较亦是，浓度的大小与比率。而 Fo1 和 Fo2 与室温活性比 Fo1, Fo2, Fo3, Fo4 有更大的比例关系。山梨糖醇活性与山梨糖醇浓度成正比，而山梨糖活性与山梨糖浓度成反比。山梨糖活性与山梨糖浓度成反比，而山梨糖活性与山梨糖浓度成反比。

- 1) 石原龍次郎, 林本嘉雄; 二次流の発生機構について; 第7回水理講演会講演集
 - 2) 佐藤精一; 水理学 (森北出版)
 - 3) 水理公式集
 - 4) 林本嘉雄; 流れ路流れの缺陷法について; 第16回年次学術講演会講演概要
 - 5) G. H. Keulegan; Law of Turbulent Flow in Open Channel; U.S.N.B.S. Vol. 21, 1938

	F01	F02	F03	F04	总计四位
4-2 I	2.5	2.08	1.69	5.55	3.96
4-2 II	2.5	2.08	1.69	8.70	5.09
4-2 III	2.5	2.08	1.69	11.56	5.24
4-2 IV	2.5	2.08	1.69	13.89	8.25